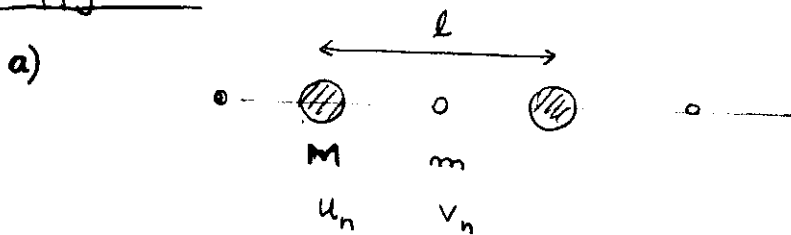


# Faste stoffers fysikk I 1985, Løsningskisse.

①  
11/6.85

## Oppgave 1.



$$\text{Bev. likn.: } M \ddot{u}_n = \alpha (v_{n+1} - u_n + v_n - u_n)$$

$$m \ddot{v}_n = \alpha (u_n - v_n + u_{n+1} - v_n)$$

Harmonisk ansats :  $u_n = u e^{ikn - i\omega t}$   
 $v_n = v e^{ikn - i\omega t} \Rightarrow \begin{cases} -M\omega^2 u = \alpha(e^{-ikl} v + v - 2u) \\ -m\omega^2 v = \alpha(u + e^{ikl} u - 2v) \end{cases}$

$$\frac{u}{v} = \frac{\alpha(e^{-ikl} + 1)}{2\alpha - M\omega^2} = \frac{2\alpha - m\omega^2}{\alpha(1 + e^{ikl})}$$

Del på M :

$$\frac{\frac{1}{4}\omega_0^2(1 + e^{-ikl})}{\frac{1}{2}\omega_0^2 - \omega^2} = \frac{\frac{1}{2}\omega_0^2 - \omega^2\mu^{-1}}{\frac{\omega_0^2}{4}(1 + e^{ikl})}$$

$$x = \frac{4\omega^2}{\omega_0^2} \Rightarrow \frac{1 + e^{-ikl}}{2 - x} = \frac{2 - x/\mu}{1 + e^{ikl}}$$

$$(2 - x)(2 - x\mu^{-1}) = 4 \cos^2(kl/2)$$

$$4 - 2x(1 + \mu^{-1}) + x^2\mu^{-1} = 4 \cos^2(kl/2)$$

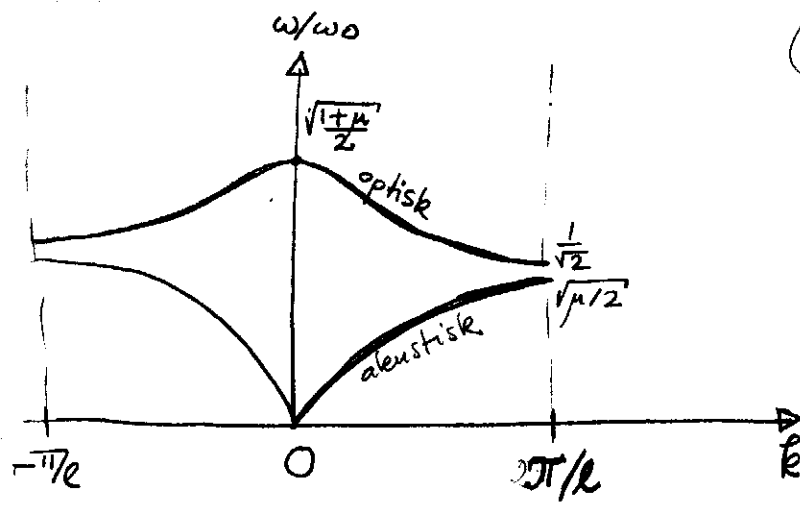
$$x^2 - 2x(1 + \mu^{-1}) = -4\mu \sin^2(kl/2)$$

$$(x - 1 + \mu)^2 = (1 + \mu)^2 - 4\mu \sin^2(kl/2)$$

$$x = \frac{4\omega^2}{\omega_0^2} = 1 + \mu \pm \sqrt{(1 + \mu)^2 - 4\mu \sin^2(kl/2)}$$

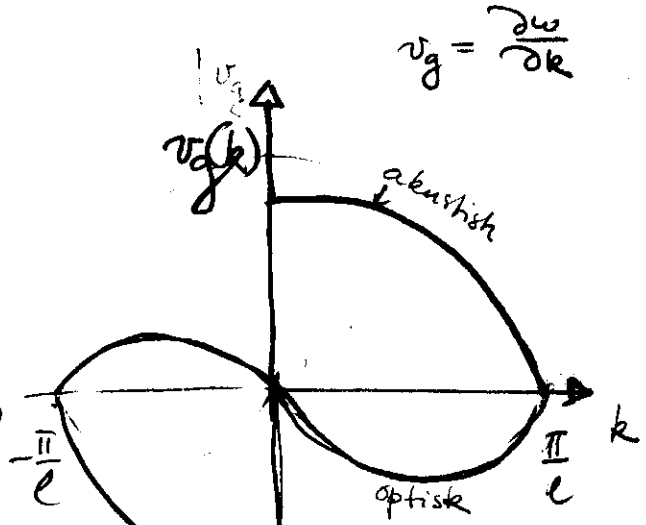
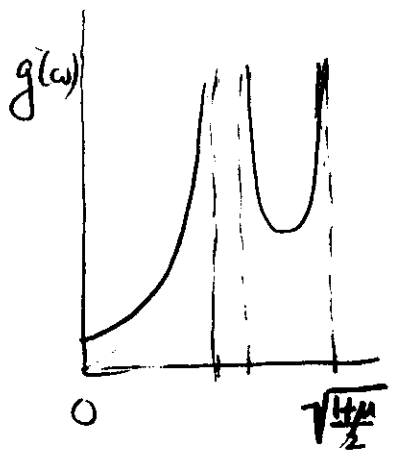
$$\omega = \frac{1}{2} \omega_0 \sqrt{1 + \mu \pm \sqrt{(1 + \mu)^2 - 4\mu \sin^2(kl/2)}}$$

(Teqnet for  $\mu < 1$ )



Periodisitet mod  $(2\pi/l)$ , kan begrense  $k$  til  $(-\pi/l, \pi/l)$ .  $k$ -verdier utenfor dette intervall er da uinteressante, de bærer ingen ny informasjon.

b)

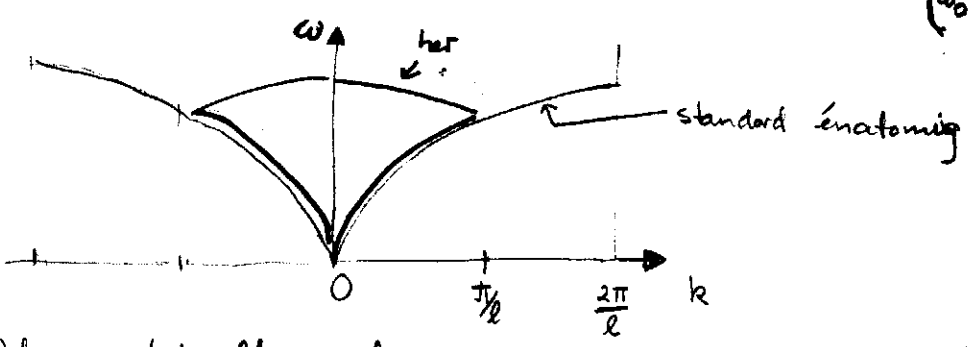


c)

$m = M$  gir

$$\omega = \frac{1}{2} \omega_0 \sqrt{2 \pm 2 \cos(kl/2)} =$$

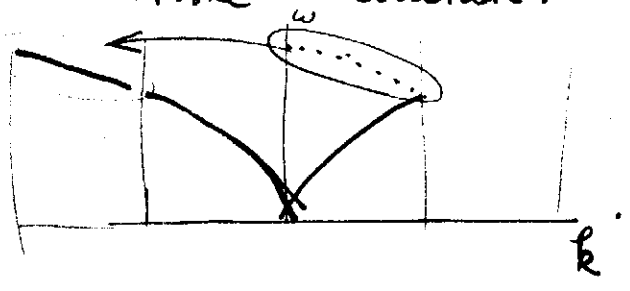
$$\begin{cases} \omega_0 \cos(kl/4) \\ \omega_0 \sin(kl/4) \end{cases}$$



Det er trivielt at enhetcella er halvert nå:  $l = 2a$ :

$$\omega = \omega_0 \begin{cases} \cos(ka/2) \\ \sin(ka/2) \end{cases}$$

Ved å flytte grenene til andre Brillouinsones får en da identiske resultater:



d) 3 akustiske, 3p-3 optiske  
 e) Harmonisk bølge  $\vec{U}(\vec{R}) = \vec{U} e^{i\vec{k}\vec{R} - i\omega t}$  Periodiske grense-  
 betingelser  $\vec{U}(\vec{R} + \vec{a}_j N_j) = \vec{U}(\vec{R}) \Rightarrow \boxed{e^{i\vec{k}\vec{a}_j N_j} = 1}$ ,  $j=1,2,3$ .

Da enhetsvektorene  $\vec{b}_j$  i det resiproke gitter oppfyller  $\vec{a}_i \cdot \vec{b}_j = 2\pi \delta_{ij}$  så er løsninger av den innrammede likninga  $\vec{k} = \frac{m_1}{N_1} \vec{b}_1 + \frac{m_2}{N_2} \vec{b}_2 + \frac{m_3}{N_3} \vec{b}_3$ , med  $m_i =$  vilkårlige heltall.

Når  $\vec{k}$  skal ligge i 1 BZ tar ~~hver~~  $m_i N_i$  ulike verdier. I alt blir det da  $N = N_1 N_2 N_3$  ulike tillatte  $\vec{k}$  verdier i 1 BZ, altså like mange som det er enhetsceller i det opprinnelige gitteret.

Nå er volumet av 1. BZ lik  $\frac{8\pi^3}{\text{cellerol. i Bravaisgitteret}} = \frac{8\pi^3}{V/N}$ .

Modetettheten er derfor

$$\frac{N}{8\pi^3 N/V} = \frac{V}{(2\pi)^3}$$

f)

$$U(T) = \int_0^\infty g(\omega) d\omega \quad \hbar\omega \frac{1}{e^{\hbar\omega/k_B T} - 1}$$

Ny variabel  $x = \hbar\omega/k_B T \Rightarrow$

$$U(T) = k_B^2 T^2 \hbar^{-1} \int_0^\infty g\left(\frac{k_B T}{\hbar} x\right) dx \frac{x}{e^x - 1}$$

For lave T ser vi at vi trenger g bare for lave frekvenser, dvs de akustiske modene. For hver av de 3 akustiske modene er  $g(\omega) \approx c_i \omega^2$  for små  $\omega$ , med  $c_i = V/2\pi^2 v_i^3$ . Bevis: For lave  $\omega$  er de akustiske greinene lineære,  $\omega = v_i k$ ,  $v_i =$  lydhastighet.

Modetettheten  $V(2\pi)^{-3}$  i  $k$ -rommet gir modetetthet  $V(2\pi)^{-3} v_i^{-3}$  i  $\vec{\omega}$ -rommet ( $\vec{\omega} = v_i \vec{k}$ ). Antall modus i  $(\omega, \omega+d\omega)$  er  $4\pi\omega^2 d\omega \cdot V(2\pi)^{-3} v_i^{-3} = \frac{\omega^2 V}{2\pi^2 v_i^3} g \text{ ed.}$

Innsatt i U fås 
$$U = \sum_{i=1}^3 \frac{4}{k_B} \frac{4}{T} \frac{4}{\hbar} \frac{V}{2\pi^2 v_i^3} \int_0^\infty \frac{x^3 dx}{e^x - 1}$$
  
 $\pi^4/15$

Varmekapasiteten:

$$C_V = \left( \frac{\partial U}{\partial T} \right)_V = \frac{2\pi^2}{15} k_B V \left( \frac{k_B T}{\hbar} \right)^3 \sum_{i=1}^3 \frac{1}{v_i^3}$$

## Oppgave 2

a) Makroskopisk: (i) ledningsevne mye større enn isolator, mye mindre enn metaller

(ii) ledningsevnen økes med temperaturen

Mikroskopisk: Energigap mellom fulle og tomme band av moderat størrelse (sammenliknet med  $k_B T$ ,  $T = \text{romtemperatur}$ ) > typisk 0.01 - 2 eV.

b) Da besetnings-tallene i ledningsbandet er små for en halvleder settes

$$m(\epsilon) = \frac{1}{1 + e^{(\epsilon - \mu)/k_B T}} \approx e^{(\mu - \epsilon)/k_B T}$$

Antall elektroner er

$$N_e = \int_{\epsilon_f(0)}^{\infty} d\epsilon m(\epsilon) g(\epsilon) = \int_{\epsilon_f(0)}^{\infty} d\epsilon e^{(\mu - \epsilon)/k_B T} \frac{V}{2\pi^2} \left( \frac{2m_e}{\hbar^2} \right)^{3/2} [\epsilon - \epsilon_f(0)]^{1/2}$$

Med ny variabel  $\epsilon = \epsilon_f(0) + x k_B T$  blir dette

$$e^{[\mu - \epsilon_f(0)]/k_B T} \frac{V}{2\pi^2} \left( \frac{2m_e k_B T}{\hbar^2} \right)^{3/2} \int_0^{\infty} dx e^{-x} x^{1/2}$$

Settes:

$$\underline{\underline{\frac{N_e}{V} = 2 \left( \frac{m_e k_B T}{2\pi \hbar^2} \right)^{3/2} e^{\frac{\mu - \epsilon_f(0)}{k_B T}}}}$$

c) Ladningsbevarelse for en intrinsisk halvleder tilsier at

$$p = \frac{N_h}{V} = n_e$$

som gir

$$e^{[2\mu - \epsilon_f(0) - \epsilon_v(0)]/k_B T} = \left( \frac{m_v}{m_e} \right)^{3/2}$$

Løst m.h.p.  $\mu$ :

$$\underline{\underline{\mu = \frac{\epsilon_f(0) + \epsilon_v(0)}{2} + \frac{3}{4} k_B T \ln \frac{m_v}{m_e}}}$$

Siste ledd er normalt lite så dette er nær midten av energigapet.

Elektron tettheten  $n_e$  kan en finne enten ved å sette uttrykket for  $\mu$  inn i uttrykket for  $n_e = N_e/V$ , eller da  $n_e = p$  direkte som

$$n_e = \sqrt{n_e p} = 2 (m_e m_v)^{3/4} \left( \frac{k_B T}{2\pi \hbar^2} \right)^{3/2} e^{-\frac{E_c(0) - E_v(0)}{2k_B T}}$$

d)

Det var oppgitt at alle donorelektronene var eksiterte, så antall elektroner i ledningsbåndet er lik  $n_d V$ , plus de som måtte være termisk eksitert fra valensbåndet. Når det er mange elektroner i ledningsbåndet må Fermi nivået  $\mu$  ligge høyt i gapet, nær  $E_c(0)$ , og da blir hullkonsentrasjonen  $p$  minimal. Kan derfor se bort fra termisk eksitasjon fra valensbåndet.

Antall elektroner i ledningsbåndet er gitt ved formelen vi utledet under b). Altså

$$n_d = 2 \left( \frac{m_e k_B T}{2\pi \hbar^2} \right)^{3/2} e^{[\mu - E_c(0)]/k_B T},$$

som gir

$$\mu - E_c(0) = k_B T \ln \left[ 4 n_d \left( \frac{\pi \hbar^2}{2 m_e k_B T} \right)^{3/2} \right]$$

For numerisk beregning uttrykkes vi dette ved

$$E_c = \hbar^2 / 2 m a_0^2 :$$

$$\mu - E_c(0) = k_B T \ln \left[ 4 n_d a_0^3 \left( \pi \frac{E_c}{k_B T} \frac{m}{m_e} \right)^{3/2} \right]$$

$$= \ln \left[ 4 \cdot 5 \cdot 10^{21} \cdot 0.53^3 \cdot 10^{-30} (3.14 \cdot 13.6 \cdot 40 \cdot 100)^{3/2} \right] \frac{1}{40} \text{ eV}$$

$$= \ln \left[ 0.02 \cdot 1.06^3 (3.14 \cdot 1.36)^{3/2} \right] \cdot \frac{1}{40} \text{ eV}$$

Som et grovt overslag settes vi

$$\mu - E_c(0) \approx \ln[0.02 \cdot 1 \cdot 4^{3/2}] \frac{1}{40} \text{ eV} = \frac{\ln 0.16}{40} \text{ eV}$$

Da  $0.16 \approx 6^{-1} \approx e^{-2}$  blir  $\ln 0.16 \approx -2$

$$\underline{\mu - E_c(0) \approx -0.05 \text{ eV}}$$

$\mu$  blir altså liggende under donornivået, som det måtte.

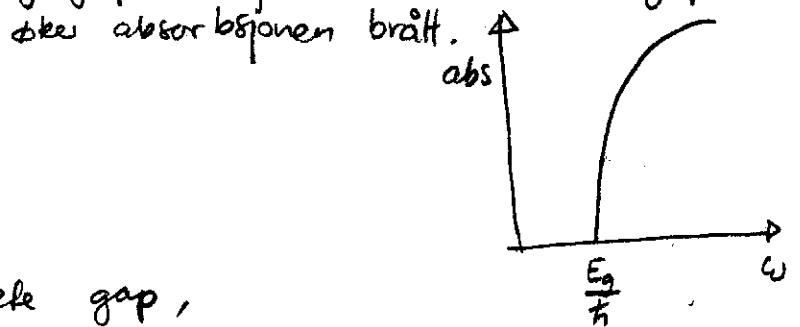
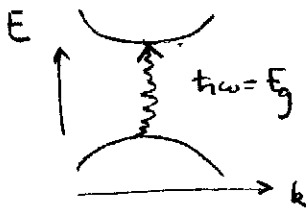
e) Bandgapet kan bestemmes eksperimentelt på flere måter:

(i) Ved å måle ledningsevnenes temperaturavhengighet. Ledningsevnen er  $\propto$  antall ladningsbærere, etter (6) lik

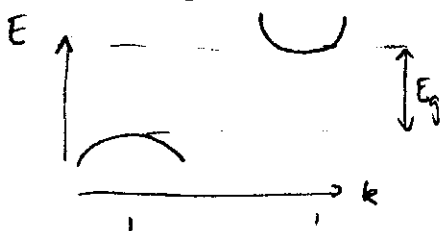
$$2V (m_e m_v)^{3/4} \left( \frac{k_B T}{2\pi \hbar^2} \right)^{3/2} e^{-\frac{E_c(0) - E_v(0)}{2k_B T}}$$

Energigapet  $E_g = E_c(0) - E_v(0)$ , slik at ledningsevnen er  $\sigma \propto e^{-E_g/2k_B T}$ , essensielt da  $T^{3/2}$  faktoren varierer langsommere. I en  $\ln \sigma$  mot  $T^{-1}$ -plot vil helningen av den tilnærmet rette linja være  $-E_g/2k_B$ .

(ii) Ved optisk å måle absorpsjon av fotoner, som funksjon av frekvens. Når fotonenergien blir lik energigapet for et direkte gap



Før et indirekte gap,



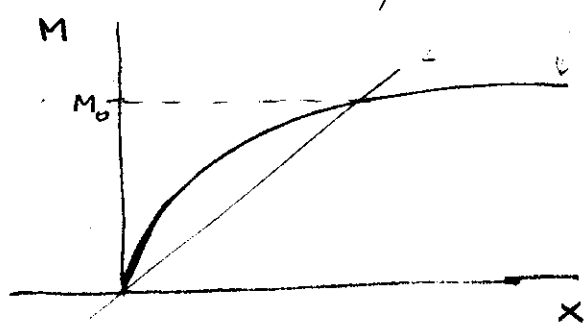
må et fonon hjelpe til med bølgetallsbevarelsen ( $k_{\text{foton}} \approx 0$ ).

Oppgave 3

- a) Kubiske ronsentrest
- b) Ved høye temperaturer går ledningsevnen  $\sigma$  ned pga elektron-fonn vekselvirkning. Da antall fonner i en harmonisk krystall øker  $\propto T$  vil  $\sigma \sim T^{-1}$  omtrent

c) Nullfelt likning for M:

$$M = n g \mu_B \tanh x, \quad x = \frac{g \mu_B}{k_B T} \lambda M$$



Når  $k_B T / g \mu_B \lambda \geq n g \mu_B$  får vi bare  $M=0$  som løsning. Den kritiske verdi er derfor

$$k_B T_C = n g^2 \mu_B^2 \lambda = \sum_{\vec{R}} J(\vec{R})$$

(Alternativ utledning ut fra susceptibiliteten)

